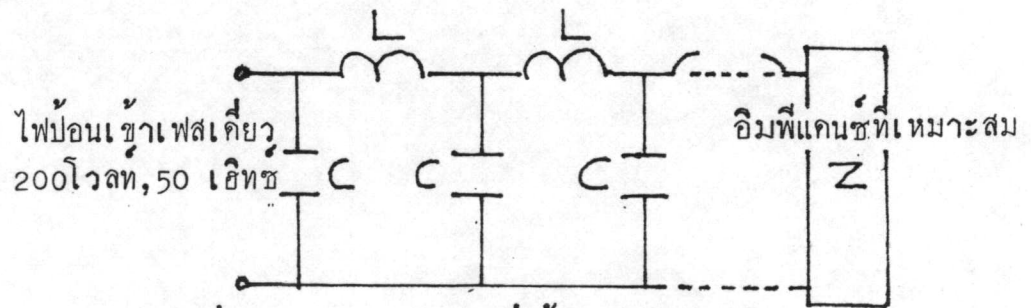


การทดสอบ และผลการทดสอบมอเตอร์เหนี่ยวนำเฟสเดียวชนิดลื่นพา เครื่องต้นแบบ

4.1 บทนำ

ในบทที่ 4 จะกล่าวถึงการทดสอบมอเตอร์เหนี่ยวนำเฟสเดียวชนิดลื่นพา เครื่องต้นแบบที่ประดิษฐ์ขึ้น ดังที่ได้กล่าวผ่านมาแล้วจากบทที่ 3 และในการทดสอบ ได้ชี้ให้เห็นถึงคุณสมบัติของมอเตอร์ชนิดลื่นพา โดยเฉพาะอย่างยิ่งได้แสดงให้เห็นอย่างชัดเจนถึงการปรับความเร็วรอบของมอเตอร์ชนิดลื่นพาได้ โดยการเปลี่ยนค่าตัวเก็บประจุไฟฟ้า ซึ่งทำให้ความเร็วรอบเปลี่ยนในอัตราประมาณ 2 : 1 และในการทดสอบได้จัดให้วงจรปฐมภูมิของมอเตอร์ชนิดลื่นพา เครื่องต้นแบบมีลักษณะตามที่แสดงในรูปที่ 4-1



รูปที่ 4-1 วงจรปฐมภูมิที่ใช้ในการทดสอบ

โดยทำการทดสอบเครื่องต้นแบบใน 2 สภาวะ คือ สภาวะไร้โหลด และสภาวะมีโหลด ซึ่งจะกล่าวรายละเอียดในหัวข้อที่ 4.3 และ 4.4 ตามลำดับ และสำหรับแต่ละสภาวะ ได้กำหนดเงื่อนไขในการทดสอบดังต่อไปนี้ (จากรูปที่ 4-1)

1. เปิดวงจรปฐมภูมิ โดยการปลดอิมพีแดนซ์  $Z$  ออก
2. ลัดวงจรปฐมภูมิ โดยการลัดวงจรปฐมภูมิที่จุดปลายสุด
3. เลือกใช้ค่าความต้านทาน  $Z = 50$  โอห์ม
4. เลือกใช้ค่าความต้านทาน  $Z = 220$  โอห์ม

#### 4.2 ผลการทดสอบปรับความเร็วรอบ โดยการเปลี่ยนค่าความจุไฟฟ้า

เนื่องความเร็วของคลื่นเดินทางของสนามแม่เหล็กไฟฟ้าในช่องอากาศ มีค่าขึ้นอยู่กับ ฟังก์ชันการแผ่กระจายคลื่น และค่าสลิป  $S$  แต่จะไม่ขึ้นอยู่กับความถี่ของระบบไฟป้อนเข้ามากนัก <sup>(12)</sup> การปรับความเร็วรอบของมอเตอร์ชนิดคลื่นพา ทำได้โดยการเปลี่ยนค่าอิมพีแดนซ์ส่วนต่ออนุกรม หรือ อิมพีแดนซ์ส่วนต่อขนานในวงจรปฐมภูมิ ดังรูปที่ 4-1 แต่ในการทดสอบเปลี่ยนความเร็วรอบของมอเตอร์ชนิดคลื่นพาเครื่องต้นแบบนี้ ได้ใช้วิธีการเปลี่ยนค่าอิมพีแดนซ์ส่วนต่อขนาน ซึ่งก็คือค่าความจุไฟฟ้าในวงจรปฐมภูมิ และได้แสดงผลการทดสอบไว้ในตารางที่ 4-1 และแสดงลักษณะการลดขนาดลงของคลื่นเดินทางตามระยะทางบนวงจรปฐมภูมิไว้ในภาคผนวก จ. รูปที่ จ-2 ถึง จ-59

ตารางที่ 4-1 (ทดสอบขณะไร้อุณหภูมิ)

ความจุไฟฟ้า	2.0	4.5	6.5	12.5	14.5
ลัดวงจร ปรุหมุมิ	2810	2500	2320	1510	1480
เปิดวงจร ปรุหมุมิ	2820	2600	2720	1620	1540
Z = 50 Ω	2830	2700	2570	1580	1520
Z = 220 Ω	2850	2820	2740	1617	1540

ตาราง แสดงความเร็วรอบ/นาที , ที่ค่าความจุไฟฟ้า, ( $\mu F$ ) , 5 ค่า

ในเงื่อนไขต่างๆของการทดสอบ ขณะไร้อุณหภูมิ, (ไฟป้อนเข้าคงที่ 200 โวลต์ ;  
50 เฮิทซ์ )

จากผลการทดสอบ เมื่อต้องการเพิ่มความเร็วรอบของมอเตอร์ฯชนิดคลื่นพา ก็ทำ

ได้โดยการลดค่าความจุไฟฟ้าลง แต่ก็ทำได้ในขีดจำกัด เพราะถ้าค่าความจุไฟฟ้าต่ำเกินไป

เหมาะสมแล้ว จะทำให้มอเตอร์ฯชนิดคลื่นพามีแรงบิดต่ำจนกระทั่งไม่อาจเริ่มหมุนได้เอง<sup>1</sup>

ซึ่งได้แสดงความสัมพันธ์ระหว่างแรงบิดและค่าความจุไฟฟ้าไว้ในภาคผนวก ข.

รูปที่ ข-1 ถึง ข-9 , และในการลดความเร็วรอบของมอเตอร์ฯชนิดคลื่นพา ก็ทำได้โดย

การเพิ่มค่าความจุไฟฟ้า ซึ่งก็ทำได้ในขีดจำกัด เพราะถ้าเพิ่มค่าความจุไฟฟ้ามากเกินไป

เหมาะสม ก็จะทำให้กระแสไหลเข้าวงจรปรุหมุมิมากเกินไปจนเกิดความร้อนสูงเกินไป ซึ่งก็

แสดงไว้ในภาคผนวก ข. รูปที่ ข-10 ถึง ข-13

<sup>1</sup> ค้างที่แสดงในสมการที่ ( 4-3 ) , ภาคผนวก ค.

#### 4.3 ผลการทดสอบขณะไร้อิทธิพล

การทดสอบมอเตอร์ชนิดคลื่นพาชนะไร้อิทธิพล ได้ทำการทดสอบใน 4 เงื่อนไข ตามที่ได้กล่าวไว้ในหัวข้อ 4.1 โดยการเปลี่ยนค่าความจุไฟฟ้า 5 ค่า เพื่อเป็นการเปรียบเทียบลักษณะคลื่นเคินทางของสนามแม่เหล็กไฟฟ้าที่ลดขนาดลงในแบบต่างๆกัน ดังที่ได้แสดงผลทดสอบไว้ในภาคผนวก จ. รูปที่ จ-2 ถึง จ-25

ผลทดสอบการลดขนาดลงของคลื่นเคินทาง มีลักษณะแตกต่างจากทฤษฎีเล็กน้อย ทั้งนี้เพราะขดลวดที่พันในสเตเตอร์ มีความต้านทานอยู่ด้วย และจากการทดสอบค่าความเหนี่ยวนำไฟฟ้าของขดลวด พบว่า ขดลวดทุกชุดมีค่าความเหนี่ยวนำแตกต่างกันเล็กน้อย<sup>1</sup> แต่ขดลวดชุดที่ 9, 10 มีค่าความต้านทาน และความเหนี่ยวนำมากกว่าขดลวดชุดอื่นๆ ตามที่ได้แสดงไว้ในตารางที่ 4 -2 ดังนั้น จะมีผลทำให้วงจรปฐมภูมิเกิดช่วงค่า แทนที่จะต่อเนื่องกันไป เช่นในวงจรสายส่งไฟฟ้า ซึ่งจะทำให้คลื่นเคินหน้าของสนามแม่เหล็กไฟฟ้าสะท้อนกลับตามจุดต่อต่างๆของวงจรปฐมภูมิได้<sup>(1,12)</sup>

<sup>1</sup> ในทางทฤษฎีไม่ได้คำนึงถึงผลของความต้านทานของวงจรปฐมภูมิ และได้สมมุติให้วงจรปฐมภูมิมีความต่อเนื่องไม่เกิดช่วงค่าดังที่ได้แสดงผลทางทฤษฎีไว้ในภาคผนวก ค.



#### 4.4 การทดสอบขณะมีโหลด

การทดสอบมอเตอร์ชนิดคลื่นพา ขณะมีโหลดค่าต่างๆ ได้ทำการทดสอบในเงื่อนไขวงจรปฐมภูมิต่างกันดังที่กล่าวในหัวข้อ 4.1 และได้แสดงผลทดสอบไว้ในภาคผนวก ข. รูปที่ ข -1 ถึง ข-9

พลังงานกลที่ได้จากมอเตอร์ชนิดคลื่นพา มีค่าไม่สูงนัก ทั้งนี้เพราะเกิดการสูญเสียพลังงานในรูปความร้อนมาก เช่นสูญเสียในความต้านทานของขดลวดที่มีค่าสูง (ตารางที่ 4-2) และแรงดันไฟฟ้าที่ส่วปลายของวงจรปฐมภูมิจมีค่าสูง เมื่อเทียบกับแรงดันป้อนเข้า (ตารางที่ 4-4) ทำให้สูญเสียพลังงานในความต้านทานที่นำมาต่อปลายวงจรปฐมภูมิมากด้วย

และจากตารางที่ 4-2 ซึ่งแสดงค่าความต้านทาน และความเหนี่ยวนำ ของ ขดลวดชุดต่างๆ ในวงจรปฐมภูมิ ที่มีค่าไม่สม่ำเสมอ โดยเฉพาะขดลวดชุดที่ 9, 10 มีความเหนี่ยวนำสูงกว่าขดลวดชุดอื่นๆ ดังนั้นทำให้วงจรปฐมภูมิจมีลักษณะเป็นช่วงค่า แทนที่จะต่อเนื่องกัน เช่นในวงจรสายส่งไฟฟ้า ซึ่งทำให้คลื่นเคลื่อนที่ของสนามแม่เหล็กไฟฟ้าสะท้อนกลับตามจุดต่อต่างๆ ของวงจรปฐมภูมิ และพลังงานของคลื่นสะท้อนกลับนี้จะหักล้างกับพลังงานของคลื่นเคลื่อนที่ไปได้ ทำให้มีพลังงานเหลือถ่ายเทไปยังโรเตอร์ลดลงตามส่วน

ลักษณะที่น่าสนใจของมอเตอร์ไซค์คลื่นพา คือ พลังงานป้อนเข้าและกระแส  
ป้อนเข้าวงจรปฐมภูมิ มีค่าเกือบคงที่สำหรับโหลดค่าต่างๆกัน ดังที่ได้แสดงผลในภาค  
ผนวก ข. รูปที่ช-10ถึงช-13 และมอเตอร์ไซค์คลื่นพาใช้กระแสเริ่มหมุนต่ำ เมื่อ  
เทียบกับกระแสขณะมีโหลดเต็ม (ตารางที่ 4-5) ทำให้มอเตอร์ไซค์คลื่นพาเหมาะ  
ที่จะนำไปใช้งานที่มีการเริ่มหมุน และหยุด บ่อยๆครั้ง ซึ่งเป็นข้อได้เปรียบมอเตอร์  
เหนี่ยวนำแบบเก่า ซึ่ง กระแสเริ่มหมุนมีค่าสูงกว่ากระแสขณะมีโหลดเต็ม

ตารางที่ 4-2

ลำดับชุดชดลวด	ความต้านทาน ( $\Omega$ )	ความเหนี่ยวนำ (mH)
1	17.5	57.23
2	17.5	60.41
3	18.4	61.46
4	17.7	61.87
5	17.6	63.30
6	17.6	57.29
7	18.0	59.10
8	17.6	67.00
9	17.5	67.00
10	19.5	69.93
11	17.3	61.46
12	17.1	65.95
13	17.8	64.04
14	17.5	64.13
15	17.5	62.03
16	17.6	62.83
17	17.6	64.61
18	17.4	64.61

ตารางแสดงค่าความต้านทาน ( $\Omega$ ) และ ค่าความเหนี่ยวนำ (mH)

ของชุดลวดชุดที่ 1 ถึง ชุดที่ 18 ในวงจรปฐมภูมิ

ตารางที่ 4-3 (ทดสอบขณะไร้โหลด)

ความจุไฟฟ้า ( $\mu F$ )	เบ็ดวงจร ปรุณภูมิ	$Z = 50 \Omega$	$Z = 220 \Omega$
2.0	63	12	33
4.5	180	31	92
6.5	160	32	85
12.5	64	20	52
14.5	48	18	42



ตาราง แสดงค่าแรงดันไฟฟ้า, โวลต์ , ที่ปลายวงจรปรุณภูมิ

ในเงื่อนไขต่างๆ ของการทดสอบ, ขณะไร้โหลด

(ไฟป้อนเข้า 200 โวลต์, ความถี่ 50 เฮิรตซ์ คงที่)



ตารางที่ 4-4 (ทดสอบขณะมีโหลด)

ความจุไฟฟ้า ( $\mu\text{F}$ )	เบิกวงจร ปรุณภูมิ	$Z = 50 \Omega$	$Z = 220 \Omega$
2.0	61 (58)	5 (3)	41 (37)
4.5	176 (166)	27 (25)	81 (79)
6.5	152 (148)	23 (22)	80 (74)
12.5	63 (61)	17 (16)	41 (40)
14.5	47 (45)	16 (15)	32 (31)

ตาราง แสดงค่าแรงดันไฟฟ้า, โวลต์ ที่ปลายวงจรปรุณภูมิ

ในเงื่อนไขต่างๆของการทดสอบ โดยมีโหลด 1 N และ 2 N)

(ไฟป้อนเข้า 200 โวลต์, ความถี่ 50 เฮิรตซ์ คงที่)

ตารางที่ 4-5 (ทดสอบขณะไร้อโหลด)

ความจุไฟฟ้า ( $\mu F$ )	เปิดวงจร ปรุหมุมิ	ลัดวงจร ปรุหมุมิ	Z = 50 $\Omega$	Z = 220 $\Omega$
2.0	0.34 (80)	0.46 (70)	0.32 (62)	0.45 (100)
4.5	0.27 (43)	0.33 (57)	0.38 (52)	0.35 (53)
6.5	0.30 (40)	0.35 (50)	0.38 (62)	0.35 (50)
12.5	0.40 (40)	0.50 (47)	0.50 (48)	0.50 (48)
14.5	0.51 (56)	0.45 (40)	0.56 (52)	0.25 (22)

ตาราง แสดงค่ากระแสเริ่มหมุน, แอมแปร์, และ (แรงดันไฟฟ้าเริ่มหมุน, โวลต์)  
ของมอเตอร์เหนี่ยวนำเฟสเดียวชนิดคั่นพา ในเงื่อนไขต่างๆของการทดสอบ  
ขณะไร้อโหลด

(ไฟป้อนเข้า 200 โวลต์, ความถี่ 50 เฮิรตซ์ คงที่)